

# $V_{cb}$ とクォーク伝搬関数の 複素共役極

梅枝宏之 (吉林大学)

共同研究者: Jinglong Zhu (吉林大学)

arXiv:2411.06085

Flavor physics workshop 2024

蒲郡市 2024年12月4日

# 内容

- ① イントロダクション
- ② Inclusive 崩壊  $B \rightarrow X_c \ell \nu$ 
  - 光学定理に基づく 崩壊幅の解析
  - 前方散乱テンソル
- ③ クォーク伝搬関数の非自明な解析性
  - Complex conjugate pole
  - inclusive 崩壊率への補正
- ④ 数値解析の結果
  - 荷電レプトンエネルギー分布
  - $B \rightarrow X_c \ell \nu$
  - $B_d$  meson lifetime
- ⑤ まとめ

# Exclusive 過程 と Inclusive 過程

**Exclusive:** 終状態ハドロンが特定されている

例:  $B \rightarrow D\ell\nu, B \rightarrow D^*\ell\nu, B \rightarrow \pi\ell\nu, B \rightarrow \rho\ell\nu, B \rightarrow K^*\ell^+\ell^-, \text{ etc.}$

理論計算: **難** ハドロン束縛状態の詳細が必要 (格子QCD, QCD sum rules, ...)

**Inclusive:** 終状態ハドロンを指定しない

例:  $B \rightarrow X_c\ell\nu, B \rightarrow X_u\ell\nu, B \rightarrow X_s\ell^+\ell^-, \text{ etc.}$

Inclusive rate = Exclusive rate の和

↑  
クォーク・ハドロン双対性

理論計算: **易** QCD 非摂動効果はoperator product expansion (OPE) によって systematic に取り扱える  
Wilson (1969)

**不定性:** 考慮されていない高次効果 (量子補正、 $1/m_b$ 補正) 双対性の破れ (hard to quantify)

# $B \rightarrow X_c \ell \nu$ 崩壊

理論的手法:  $1/m_b$  展開 heavy quark expansion (HQE)

$$\Gamma = \frac{G_F^2 m_b^5}{192\pi^3} |V_{cb}|^2 \left( C_0 + C_\pi \frac{\mu_\pi^2}{m_b^2} + C_G \frac{\mu_G^2}{m_b^2} + C_D \frac{\rho_D^3}{m_b^3} + C_{LS} \frac{\rho_{LS}^3}{m_b^3} + \dots \right)$$

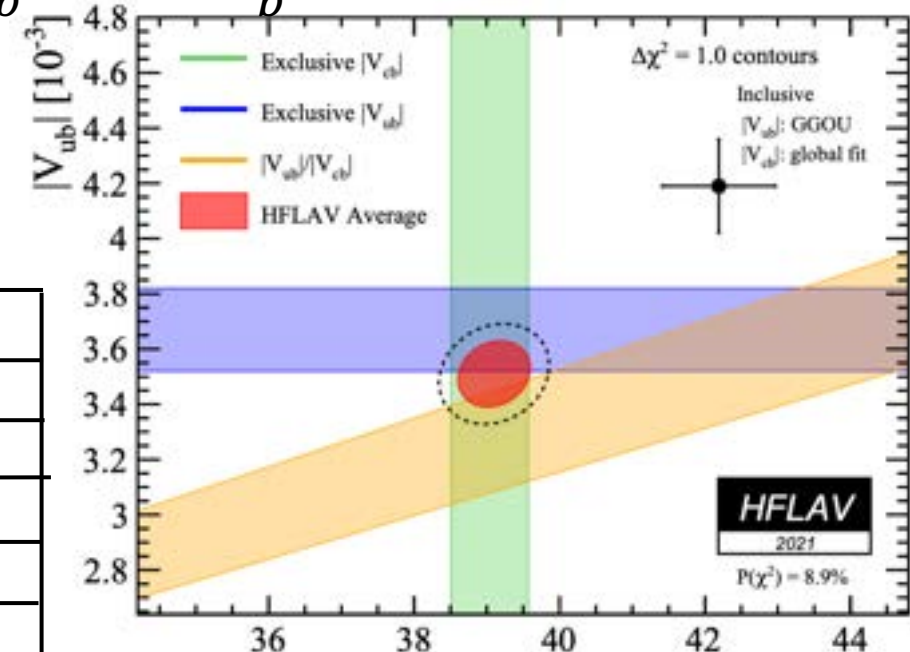
$$C_X = C_X^{LO} + \frac{\alpha_S}{\pi} C_X^{NLO} + \left(\frac{\alpha_S}{\pi}\right)^2 C_X^{NNLO} + \dots$$

$X = 0, \pi, G, D, LS$

近年における  $|V_{cb}|$  の決定

(inclusive 論文)	$ V_{cb}  \times 10^3$	詳細
Bordone, Capdevia, Gambino (2021)	$42.16 \pm 0.51$	3 loop の摂動評価
Bernlochner, et al (2021)	$41.69 \pm 0.63$	extracted from $q^2$ moment
Hayashi, Sumino, Takaura (2021)	$42.5 \pm 1.1$	1S mass schemes
Hayashi, et al (2023)	$41.5^{+1.0}_{-1.2}$	$\overline{MS}$ scheme
Finauri, Gambino (2023)	$41.97 \pm 0.48$	$q^2$ moment included in the global fit

(exclusive 実験論文)	$ V_{cb}  \times 10^3$	詳細
LHCb (2020)	$41.4 \pm 0.6 \pm 0.9 \pm 1.2$	CLN in $B_s \rightarrow D_s^{(*)} \ell \nu$
	$42.3 \pm 0.8 \pm 0.9 \pm 1.2$	BGL in $B_s \rightarrow D_s^{(*)} \ell \nu$
Belle (2023)	$41.0 \pm 0.7$	BGL in $B \rightarrow D^* \ell \nu$ , angular coefficients
BaBar (2023)	$41.09 \pm 1.16$	BGL in $B \rightarrow D \ell \nu$

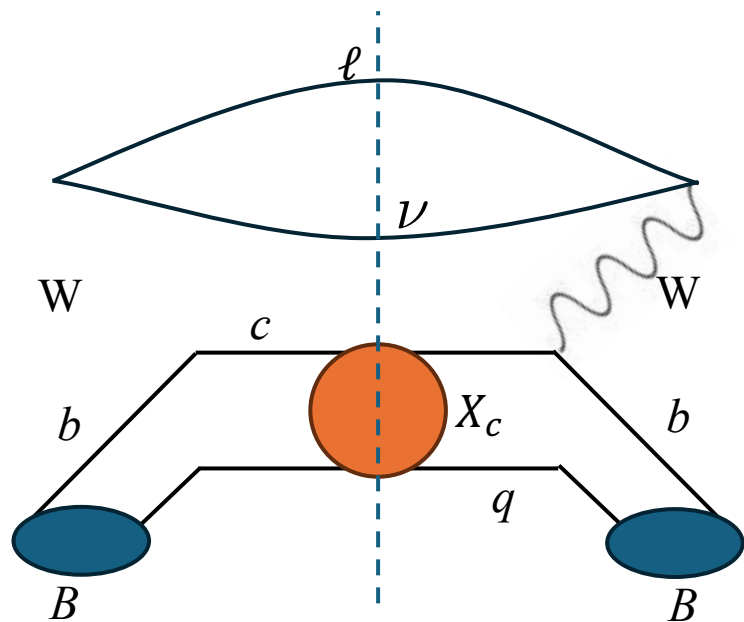


Long-standing puzzle?  $|V_{cb}| [10^{-3}]$

新物理による説明は  $Zb\bar{b}$  constraint と incompatible Crivellin, Pokorski [1407.1320]

Inclusive 崩壊  $B \rightarrow X_{clv}$  の  
理論解析について

# $B \rightarrow X_c \ell \nu$ 崩壊の diagram

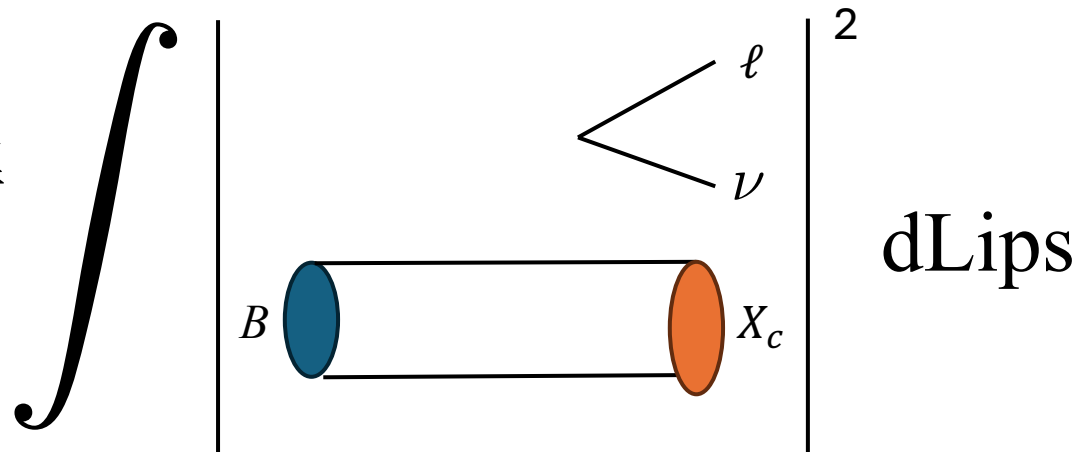


differential width:

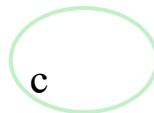
$L_{\mu\nu}$ : Leptonic tensor

光学定理

=



前方散乱テンソル



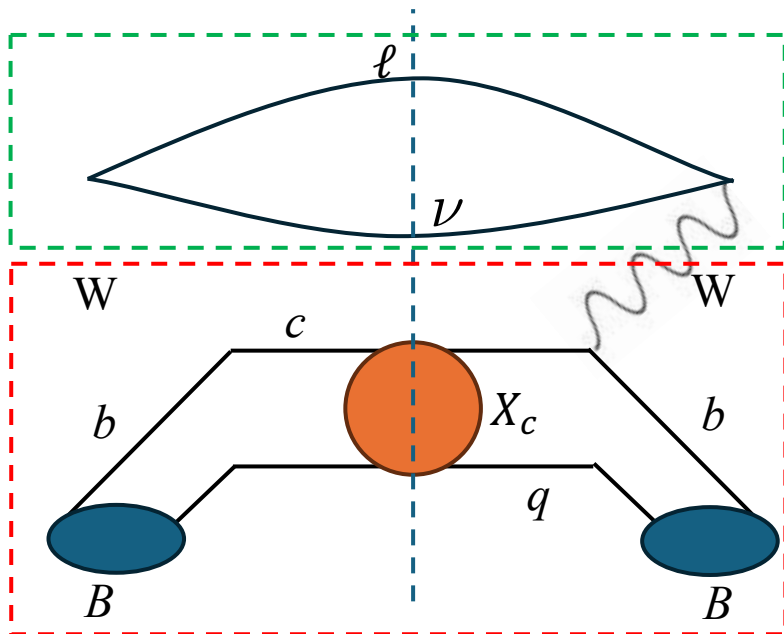
charm quark 伝搬関数

$W_{\mu\nu}$ : Hadronic tensor

$$W^{\mu\nu} = -\frac{1}{\pi} \text{Im}(T^{\mu\nu})|_{B \rightarrow X_c}$$

(for  $B \rightarrow X_c \ell \nu$ )

# $B \rightarrow X_c \ell \nu$ 崩壊の diagram

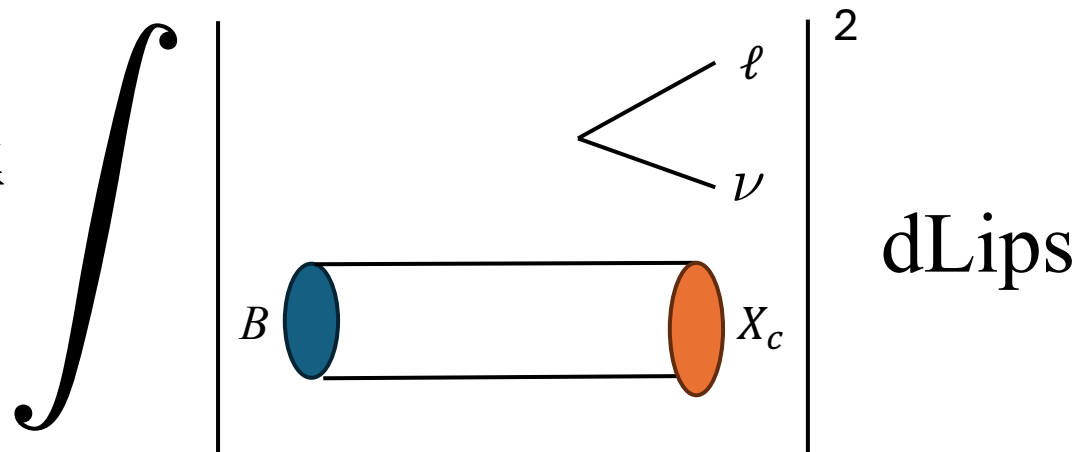


differential width:

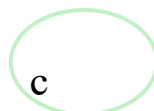
$L_{\mu\nu}$ : Leptonic tensor

光学定理

=



前方散乱テンソル



charm quark 伝搬関数

$W_{\mu\nu}$ : Hadronic tensor

$$W^{\mu\nu} = -\frac{1}{\pi} \text{Im}(T^{\mu\nu})|_{B \rightarrow X_c}$$

(for  $B \rightarrow X_c \ell \nu$ )

# differential width の評価

$$\frac{d^2\Gamma}{dE_\ell d\alpha} = -\frac{G_F^2 |V_{cb}|^2 2m_b}{4\pi^3 \pi} \text{Im} \int_{E_\ell}^{q_{\max}^0} (q^0 - E_\ell) L_{\mu\nu} T^{\mu\nu} dq^0$$

位相空間の積分

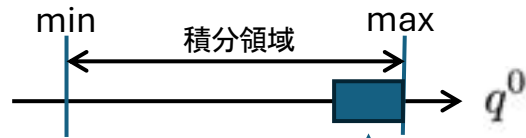
$E_\ell$ : charged lepton energy

$E_\nu$ : neutrino energy

$q^2$ : dilepton invariant mass squared

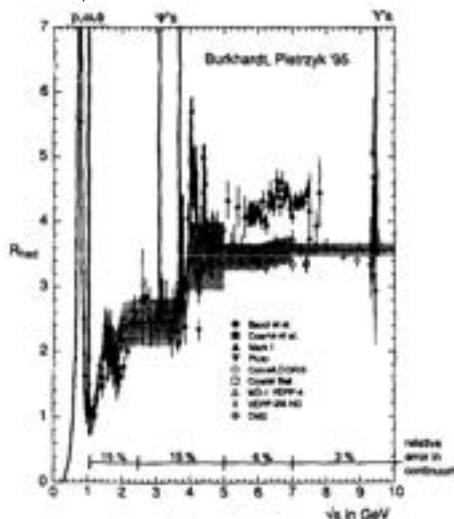
$$q^0 = E_\ell + E_\nu \quad \alpha = q^2 / [2m_b(q^0 - E_\ell)]$$

積分の評価



resonance region

摂動計算が困難

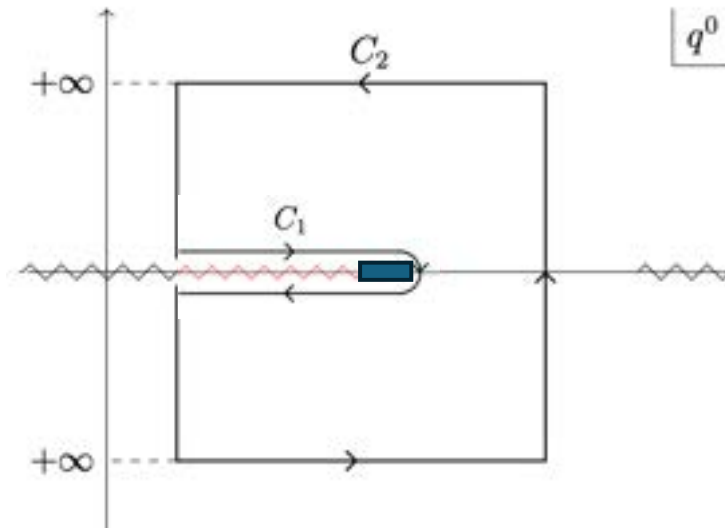


cf) R-ratio

$$R = \frac{\sigma(e^+e^- \rightarrow \text{hadrons})}{\sigma(e^+e^- \rightarrow \mu^+\mu^-)}$$

sharply peaked

先行研究による議論 (複素積分)



閉じた積分経路



Cauchy's theorem

$$\oint f(q^0) dq^0 = 0$$

$$\int_{C_1} f(q^0) dq^0 = - \int_{C_2} f(q^0) dq^0$$



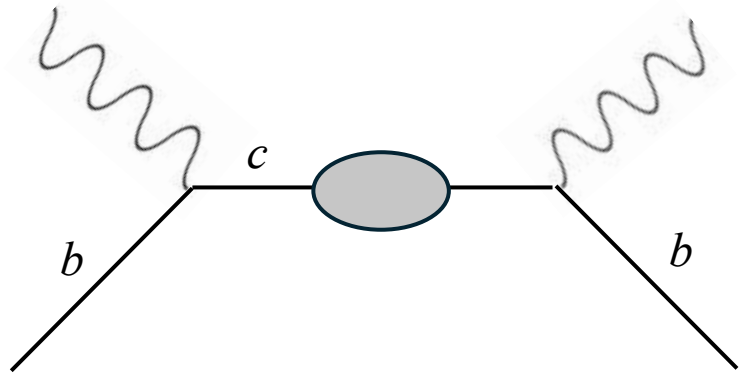
摂動計算が可能

考慮されていない不定性は無いか ⇐ 本研究

クォーク伝搬関数の解析性に関する非自明な性質



# クォーク伝搬関数の解析性



摂動の最低次 (量子補正によって修正される)

$$S_c(p_c) = \frac{i\not{p}_c}{p_c^2 - m_c^2 + i\epsilon} + i\not{p}_c \left( \frac{R}{p_c^2 + Q} + \frac{R^*}{p_c^2 + Q^*} \right) + (\text{no gamma matrix parts})$$

Complex conjugate pole (CCP)

Zwanziger, Nucl. Phys. B323 (1989) 513-544

● Gribov-Zwanziger 理論: グルーオン伝搬関数にCCP

理論からの示唆

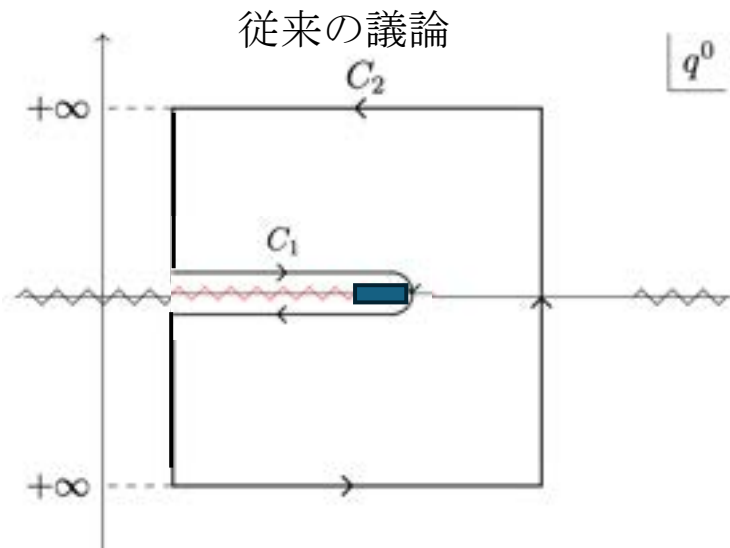
● (Massive) Yang-Mills 理論 Hayashi, Kondo [1812.03116], [2001.05987], [2103.14322], [2105.07487]

● (a variant of) Schlessinger point method: グルーオン・クォークの伝搬関数にCCP

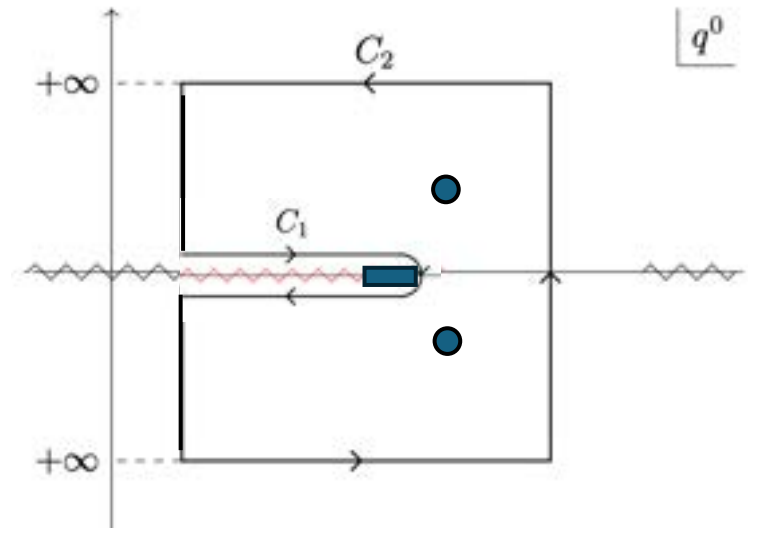
Schlessinger  
Phys. Rev. 167 (1968) 5, 1411

Binosi, Tripolt  
[1904.08172]

Zhu, Raya, Chang  
[2005.04181]



CCPが有る場合

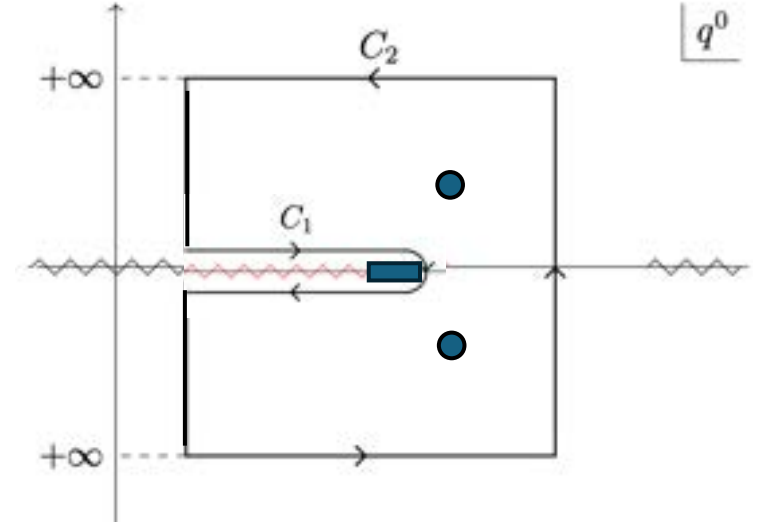


# differential width の評価式

$$\frac{d^2\Gamma}{dE_\ell d\alpha} = -\frac{G_F^2 |V_{cb}|^2 2m_b}{4\pi^3 \pi} \text{Im} \int_{E_\ell}^{q_{\max}^0} (q^0 - E_\ell) L_{\mu\nu} T^{\mu\nu} dq^0 \propto \int w(q^0) T^{\mu\nu} dq^0$$

$$S_c(p_c) = \frac{i\not{p}_c}{p_c^2 - m_c^2 + i\epsilon} + i\not{p}_c \left( \frac{R}{p_c^2 + Q} + \frac{R^*}{p_c^2 + Q^*} \right)$$

$$T^{\mu\nu} = \begin{matrix} \downarrow & & \downarrow & \downarrow \\ \tilde{S} & & S_p & S_{p'} \\ \tilde{T}^{\mu\nu} & + & T_p^{\mu\nu} & + & T_{p'}^{\mu\nu} \end{matrix}$$



従来の場合  $\int_{C_1+C_2} w(q^0) T^{\mu\nu} dq^0 = 0$

CCPが有る場合  $\int_{C_1+C_2} w(q^0) T^{\mu\nu} dq^0 = 2\pi i \text{Res}(wT_p^{\mu\nu} + wT_{p'}^{\mu\nu})$

$$\frac{d^2\Gamma}{dE_\ell d\alpha} = \frac{d^2\Gamma}{dE_\ell d\alpha} \Big|_{\text{pert}} + \frac{d^2\Gamma}{dE_\ell d\alpha} \Big|_{\text{CCPs}} \quad \frac{d^2\Gamma}{dE_\ell d\alpha} \Big|_{\text{pert}} = -\mathcal{F}(C_b, \tilde{T}) \quad \frac{d^2\Gamma}{dE_\ell d\alpha} \Big|_{\text{CCPs}} = \mathcal{F}(C_p, T_{\text{CCP}}) + \mathcal{F}(C_{p'}, T_{\text{CCP}'})$$

摂動論による評価  
が可能な項

$$\mathcal{F}(C, \mathcal{T}) = \frac{G_F^2 |V_{cb}|^2 m_b}{4\pi^3 \pi} \text{Im} \int_C (q^0 - E_\ell) L_{\mu\nu} \mathcal{T}^{\mu\nu} dq^0$$

# 崩壊幅の理論式 $(m_b \rightarrow \infty)$

$$B \rightarrow X_c \ell \nu$$

従来の結果

(摂動の最低次)

$$\frac{1}{\Gamma_b} \frac{d\Gamma}{dy_\ell} = 2y_\ell [3x_\ell^2 y_\ell (2 - y_\ell) + x_\ell^3 (y_\ell^2 - 3y_\ell)]$$

$$x_\ell = 1 - \frac{m_c^2/m_b^2}{1 - y_\ell} \quad \text{Manohar, Wise (1994)}$$

$$B_d^0 \rightarrow \text{anything}$$

従来の結果

$$q' = d, s$$

$$\frac{d\Gamma^{b \rightarrow c \bar{u} q'}}{dy_{q'}} = |V_{uq'}|^2 \tilde{C} \left. \frac{d\Gamma^{b \rightarrow c \ell \bar{\nu}}}{dy_\ell} \right|_{y_\ell \rightarrow y_{q'}}$$

$$\tilde{C} = N_c C_1^2 + N_c C_2^2 + 2C_1 C_2$$

$b \rightarrow c \bar{c} q'$  も同様  
ただし、 $\bar{c}$ の質量を考慮

$C_1, C_2$ : Wilson 係数

CCP の寄与

本研究

$$\frac{1}{\Gamma_b} \frac{d\Gamma}{dy_\ell} = -4\text{Re}R y_\ell [3\tilde{x}_\ell^2 y_\ell (2 - y_\ell) + \tilde{x}_\ell^3 (y_\ell^2 - 3y_\ell)]$$

$$\tilde{x}_\ell = 1 + \frac{Q/m_b^2}{1 - y_\ell} \quad \text{置き換え } m_c^2 \rightarrow -Q \quad \text{overall} \rightarrow -2\text{Re}R(\dots)$$

CCP の寄与

本研究

$$\frac{d\Gamma^{b \rightarrow c \bar{u} q'}}{dy_{q'}} = -2\text{Re}R \left. \frac{d\Gamma^{b \rightarrow c \bar{u} q'}}{dy_{q'}} \right|_{\text{上式}} \Big|_{x_\ell \rightarrow \tilde{x}_\ell}$$

左の場合と同様の置き換えにより得られる

観測量

$$|V_{cb}| = \frac{|V_{cb}^{\text{OPE}}|}{\sqrt{1 + \frac{\tilde{\Gamma}^{\text{CCPs}}}{\tilde{\Gamma}^{\text{OPE}}}}} \quad |V_{cb}^{\text{OPE}}| \text{ 先行研究の inclusive Vcb}$$

$$\tilde{\Gamma}^{\text{CCPs}} = \Gamma^{\text{CCPs}} / |V_{cb}|^2$$

$$\tilde{\Gamma}^{\text{OPE}} \simeq G_F^2 (m_b^{\text{kin}})^5 / 192\pi^3$$

ただし、上式は積分した崩壊幅に対応する。

cf) 新物理による議論 Crivellin, Pokorski (2014)

観測量

$$\text{全崩壊幅 } \Gamma = \sum_{\text{flavors}} (\Gamma[\text{semi-leptonic}] + \Gamma[\text{non-leptonic}])$$

$$\text{寿命 } \tau \propto (\Gamma_{\text{OPE}} + \Gamma_{\text{CCPs}})^{-1}$$

$$\Gamma_b = G_F^2 m_b^5 |V_{cb}|^2 / 192\pi^3 \text{ (normalization of width)}$$

$$y_\ell = 2E_\ell/m_b \text{ (dimensionless charged lepton energy)}$$

# 数値解析の 結果

$$\Gamma_b = G_F^2 m_b^5 |V_{cb}|^2 / 192 \pi^3$$

$$y_\ell = 2E_\ell / m_b$$

# 結果: 荷電レプトンエネルギー分布

charm クォーク伝搬関数 (CCP の部分のみ)

$$S_{CCPs}(p_c) = i\not{p}_c \left( \frac{R}{p_c^2 + Q} + \frac{R^*}{p_c^2 + Q^*} \right)$$

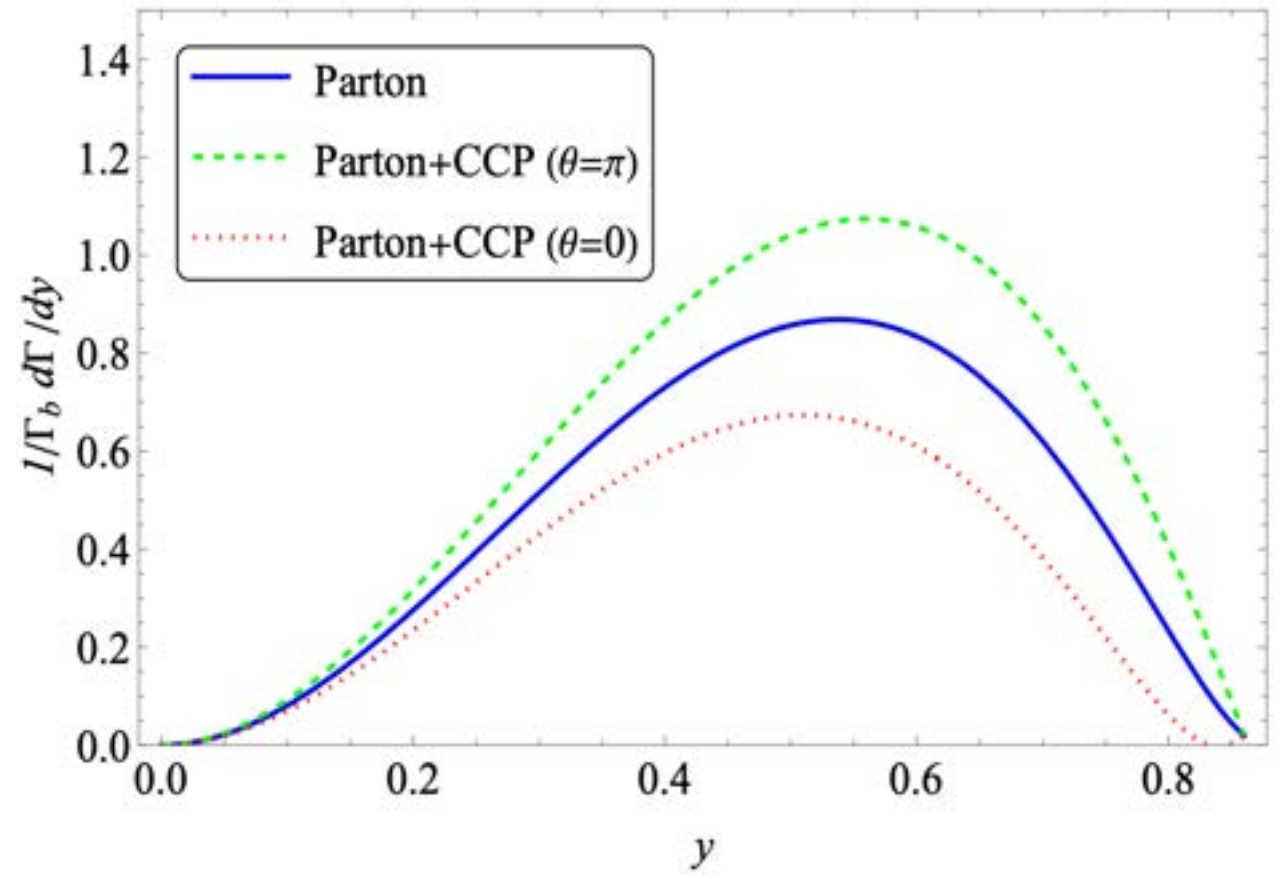
インプットパラメータ

極の位置:  $Q = (-2.3 + 1.1i) \text{ GeV}^2$   
Zhu, Raya and Chang [2005.04181]

留数の絶対値:  $|R| = 0.115$

ただし、 $R = |R|e^{i\theta}$

$m_b = 4.78 \text{ GeV}, m_c = 1.67 \text{ GeV}$  PDG pole mass



●  $\theta \approx \pi$  (もしくは  $0$ ) の場合、従来の寄与に対して正 (負) の寄与を与える。

# 結果: $|V_{cb}|$

charm クォーク伝搬関数 (CCP の部分のみ)

$$S_{CCPs}(p_c) = i\not{p}_c \left( \frac{R}{p_c^2 + Q} + \frac{R^*}{p_c^2 + Q^*} \right)$$

インプットパラメータ

極の位置:  $Q = (-2.3 + 1.1i) \text{ GeV}^2$   
Zhu, Raya and Chang [2005.04181]

留数の絶対値:  $|R| = 0.115$

ただし、 $R = |R|e^{i\theta}$

偏角は  $-\pi < \theta \leq \pi$  の範囲で scan する

従来の Inclusive  $|V_{cb}^{OPE}|$

$$|V_{cb}| = \frac{|V_{cb}^{OPE}|}{\sqrt{1 + \frac{\hat{\Gamma}_{CCPs}}{\hat{\Gamma}_{OPE}}}}$$

$$|V_{cb}^{OPE}| = 42.16(51) \times 10^{-3}$$

$$m_b^{kin} = 4.573(12) \text{ GeV}$$

Bordone, Capdevia, Gambino  
[2107.00604]

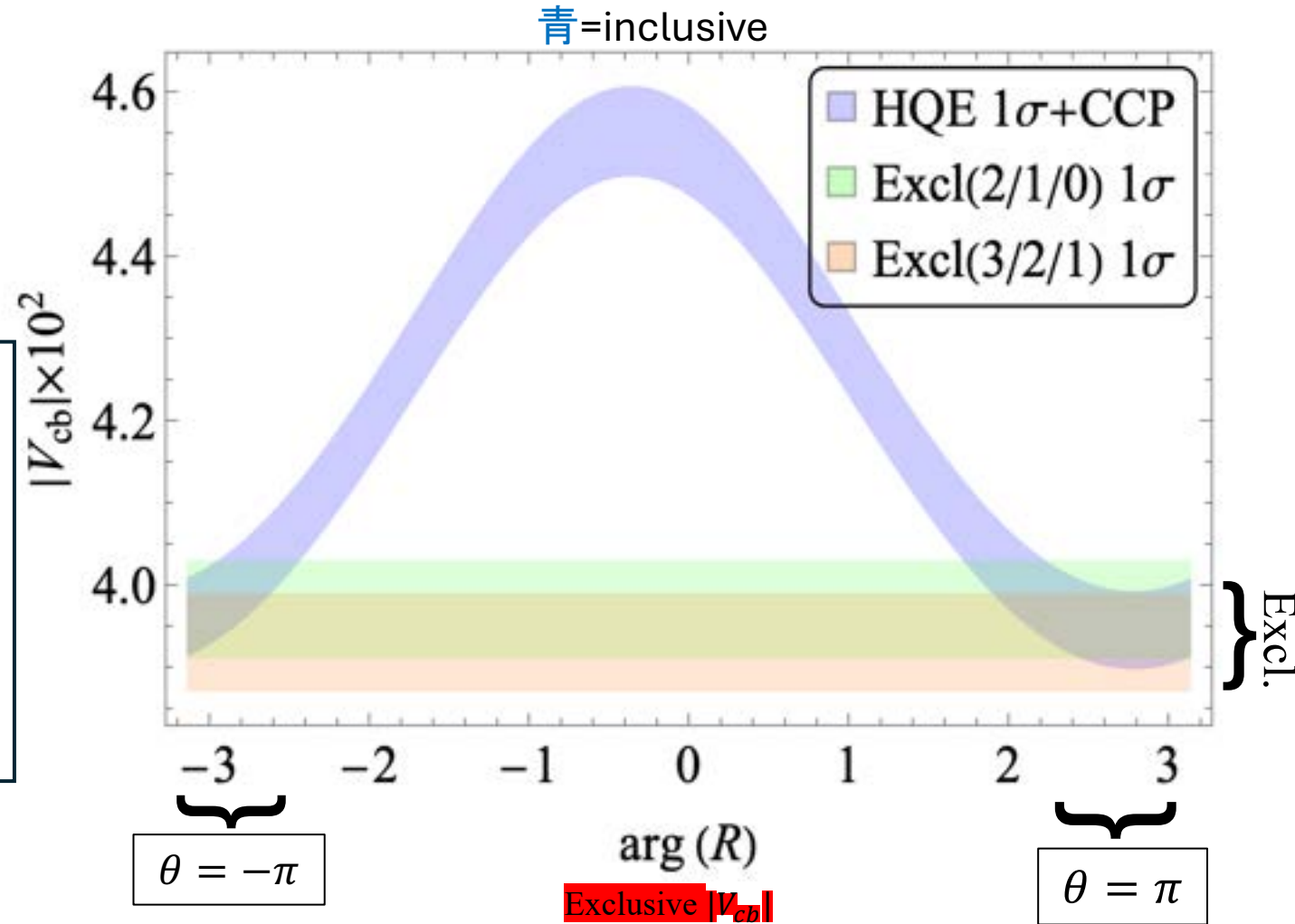
BGL parametrization (1995) CLN parametrization (1998)

HQET に基づく parametrization Jung and Straub,  
解析性を仮定していない [1801.01112]

Iguro and Watanabe  
[2004.10208]

●  $\theta \approx \pm\pi$  とした場合、inclusive が exclusive と  $1\sigma$  の範囲内で一致

✓ plotted above



# 結果: $B_d^0$ lifetime

charm クォーク伝搬関数 (CCP の部分のみ)

$$S_{CCPs}(p_c) = i\not{p}_c \left( \frac{R}{p_c^2 + Q} + \frac{R^*}{p_c^2 + Q^*} \right)$$

入力パラメータ

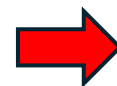
極の位置:  $Q = (-2.3 + 1.1i) \text{ GeV}^2$   
Zhu, Raya and Chang [2005.04181]

留数の絶対値:  $|R| = 0.115$

ただし、 $R = |R|e^{i\theta}$

偏角は  $-\pi < \theta \leq \pi$  の範囲で scan する

lifetime の  
プロット

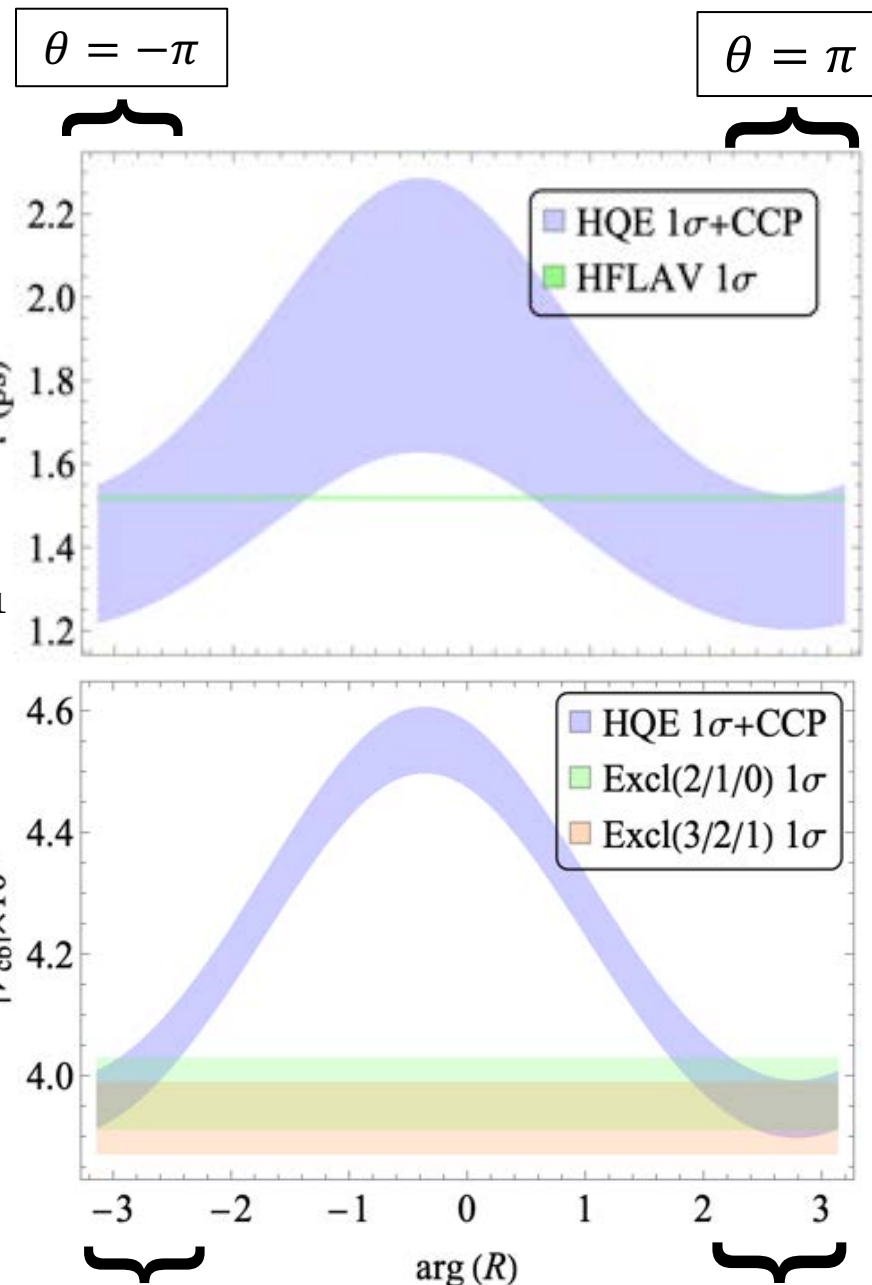
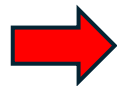


$$\tau = (\Gamma_{OPE} + \Gamma_{CCPs})^{-1}$$

$$\Gamma_{OPE} = (0.615^{+0.108}_{-0.069}) \text{ ps}^{-1}$$

Lenz, Piscopo, Rusov  
[2208.02643]

$|V_{cb}|$  の  
プロット  
(比較の為)



◎  $\theta \approx \pm\pi$  の場合、 $|V_{cb}|$  と  $\tau_{B_d}$  を  $1\sigma$  の範囲内で同時に説明することが可能.

→  $V_{cb}$  puzzle を説明できる CCP パラメータ領域が存在することを確認.

# まとめ

- クォーク伝搬関数の解析性に関する性質には非自明な点があり、CCPの存在が示唆されている。
- CCPの存在下では積分経路の deformation に伴い、従来の(解析接続に基づく) inclusive 崩壊率が修正される。

注: 慣習的に積分経路が複素平面上で遠方の定義されている為。  
(物理的な)レプトンエネルギー積分領域の場合、CCPによる修正を受けない。ただしこれは摂動論で評価できない。

- $B \rightarrow X_c \ell \nu$  と  $B_d^0$  の全崩壊幅の解析を行いCCP存在下での  $|V_{cb}|$  と  $B_d^0$  のlifetimeを数値的に議論した。
- 結果として、 $V_{cb}$  と  $\tau(B_d)$  を  $1\sigma$  の範囲で同時説明できる charm quark CCPのパラメータ(極の位置及び留数)領域が存在することが分かった。



Backup

# CCP 先行研究の結果

Zhu, Raya, Chang [2005.04181]

1 pair of CCPs

Rainbow-ladder truncation

Beyond rainbow-ladder

Flavor	$q$	$R [\sigma_v]$	$R [\sigma_s]$
$u/d$	$-0.302 \pm 0.364i$	$0.586 \mp 0.542i$	$-0.013 \mp 0.480i$
$s$	$-0.646 \pm 0.660i$	$0.702 \mp 0.311i$	$0.060 \mp 0.719i$
$c$	$-2.325 \pm 1.145i$	$0.577 \mp 0.712i$	$1.098 \mp 0.157i$
$b$	$-32.942 \pm 4.260i$	$0.674 \pm 0.498i$	$5.110 \mp 3.287i$
$u/d$	$-0.175 \pm 0.210i$	$0.231 \mp 0.685i$	$0.001 \mp 0.390i$

Dorkin, Kaptari, Hilger, Kampfner [1312.2721]

multiple pairs of CCPs

$u, d$ quarks	1	2	3	4
pole position	$(-0.2588, \pm 0.19618)$	$(-0.2418, \pm 2.597)$	$(-1.0415, \pm 2.8535)$	$(-0.738, 0.0)$
res[ $\sigma_s$ ]	$(-0.016, \mp 0.511)$	$(0.04, \pm 0.10)$	$(-0.05, \mp 0.076)$	$(0.069, 0.0)$
res[ $\sigma_v$ ]	$(0.259, \mp 0.859)$	$(0.0234, \mp 0.063)$	$(0.0014, \mp 0.052)$	$(-0.080, 0.0)$
$s$ quarks	1	2	3	4
pole position	$(-0.436, \pm 0.513)$	$(-0.51, \pm 3.35)$	$(-1.45, \pm 3.82)$	$(-3.25, 0.0)$
res[ $\sigma_s$ ]	$(0.009, \mp 0.49)$	$(0.06, \pm 0.10)$	$(-0.056, \mp 0.08)$	$(0.007, 0.0)$
res[ $\sigma_v$ ]	$(0.26, \mp 0.54)$	$(0.013, \mp 0.06)$	$(-0.0005, \mp -0.048)$	$(0.004, 0.0)$

# Beauty hadron の寿命

Lenz, Piscopo, Rusov [2208.02643]

Observable	HQE Scenario A	HQE Scenario B	Exp. value
$\Gamma(B^+)[\text{ps}^{-1}]$	$0.563^{+0.106}_{-0.065}$	$0.576^{+0.107}_{-0.067}$	$0.6105 \pm 0.0015$
$\Gamma(B_d)[\text{ps}^{-1}]$	$0.615^{+0.108}_{-0.069}$	$0.627^{+0.110}_{-0.070}$	$0.6583 \pm 0.0017$
$\Gamma(B_s)[\text{ps}^{-1}]$	$0.597^{+0.109}_{-0.069}$	$0.625^{+0.110}_{-0.071}$	$0.6596 \pm 0.0026$
$\tau(B^+)/\tau(B_d)$	$1.0855^{+0.0232}_{-0.0219}$	$1.0851^{+0.0230}_{-0.0217}$	$1.076 \pm 0.004$
$\tau(B_s)/\tau(B_d)$	$1.0279^{+0.0113}_{-0.0113}$	$1.0032^{+0.0063}_{-0.0063}$	$0.998 \pm 0.005$

- 実験データは理論値より高精度である。
- 理論誤差の範囲内で、実験値との良い一致が見られる。  
クォーク・ハドロン双対性の破れは(少なくとも)小さい。